

# **Verbesserung eines Bluetooth-basierten Warnsystems für den Straßenverkehr durch Datenlogging und innovative Visualisierungstechniken**

## **Studienarbeit T3200**

Studiengang Elektrotechnik

Studienrichtung Fahrzeugelektronik

Duale Hochschule Baden-Württemberg Ravensburg, Campus Friedrichshafen

von

Luka Tadic

Abgabedatum:	14.07.2025
Bearbeitungszeitraum:	07.04.2025 - 14.07.2025
Matrikelnummer:	5726700
Kurs:	TFE22-1
Dualer Partner:	
Betreuerin / Betreuer:	Prof. Dr. Ing. Tobias Frank
Gutachterin / Gutachter:	Prof. Dr. Ing. Tobias Frank

## Erklärung

Ich versichere hiermit, dass ich meine Studienarbeit T3200 mit dem Thema:

*Verbesserung eines Bluetooth-basierten Warnsystems für den  
Straßenverkehr durch Datenlogging und innovative Visualisie-  
rungstechniken*

selbstständig verfasst und keine anderen als die angegebenen Quellen  
und Hilfsmittel benutzt habe. Ich versichere zudem, dass die eingereichte  
elektronische Fassung mit der gedruckten Fassung übereinstimmt.

Friedrichshafen, den 13. Juli 2025

---

Luka Tadic

# Kurzfassung

## Abstract

# Hilfsmittel

## Abbildungsverzeichnis

1	Beispiel Rechtsabbiegen LKW . . . . .	1
2	XPLR-AOA Explorer Kit . . . . .	4
3	Datenlogger Cube (Avisaro 2.0) zur Speicherung von Sensor- und Prozessdaten . . . . .	6
4	Integration Datenlogger . . . . .	7
5	Beispiel Triangulation . . . . .	12
6	Ablauf Funktion Datenlogger . . . . .	13
7	Vergleich Parametrisierung früher und heute . . . . .	15
8	Alte Visualisierung . . . . .	20
9	Grün - keine Gefahr noch . . . . .	23
10	Gelb - Warnung, Gefahr möglich . . . . .	24
11	Rot - Achtung, Kollisionsgefahr . . . . .	24
12	Visualisierung der Antennen und Sensorlinien . . . . .	25
13	Volle Darstellung Benutzeroberfläche . . . . .	26
14	Minimale Darstellung Benutzeroberfläche . . . . .	26
15	Gute Triangulation . . . . .	30
16	Schlechte Triangulation . . . . .	31

## Abkürzungsverzeichnis

**AoA** Angle-of-Arrival

**API** Application Programming Interface

**BLE** Bluetooth Low Energy

**LKW** Lastkraftwagen

**SDK** Software Development Kit

**CSV** Comma-seperated values

**JSON** JavaScript Object Notation

**UI** User Interface

**JSONL** JavaScript Object Notation Lines

**BAT** batch

**TCP** Transmission Control Protocol

# Inhaltsverzeichnis

<b>1</b>	<b>Einleitung</b>	<b>1</b>
1.1	Motivation . . . . .	1
1.2	Zielsetzung . . . . .	2
<b>2</b>	<b>Rückblick auf das mobile Warnsystem</b>	<b>3</b>
2.1	Konzept und Zielsetzung . . . . .	3
2.2	Bluetooth AoA und technische Grundlagen . . . . .	3
2.3	Herausforderungen und Gründe für die Projektpause . . . . .	4
<b>3</b>	<b>Grundlagen Datenlogger</b>	<b>6</b>
3.1	Zweck und Funktionalität eines Datenloggers . . . . .	6
3.2	Anwendungsbereiche im Kontext der Studienarbeit . . . . .	7
3.3	Vorhandene Herausforderungen und Lösungsansätze . . . . .	8
<b>4</b>	<b>Entwicklung des Datenloggers</b>	<b>9</b>
4.1	Anforderungen an die Software . . . . .	9
4.2	Auswahl geeigneter Technologien und Tools . . . . .	9
4.3	Implementierung und Integration in bestehende Systeme . . . . .	10
4.4	Ergebnisse und Evaluation . . . . .	14
<b>5</b>	<b>Grundlagen der Visualisierung</b>	<b>16</b>
5.1	Anforderungen an eine effektive Visualisierung . . . . .	16
5.2	Darstellungsmöglichkeiten und -technologien . . . . .	17
<b>6</b>	<b>Entwicklung der neuen Visualisierung</b>	<b>19</b>
6.1	Analyse der bestehenden Visualisierung . . . . .	19
6.2	Konzept einer verbesserten Visualisierung . . . . .	21
6.3	Implementierung der verbesserten Visualisierung . . . . .	22
6.4	Ergebnisse und Benutzerfreundlichkeit . . . . .	27
<b>7</b>	<b>Test und Validierung</b>	<b>28</b>
7.1	Testmethodik und -umgebung . . . . .	28
7.2	Ergebnisse der Tests . . . . .	29
7.3	Diskussion der Testergebnisse und Optimierungspotentiale . . . . .	32
<b>8</b>	<b>Kritische Bewertung und Ausblick</b>	<b>33</b>
8.1	Reflexion der erreichten Ergebnisse . . . . .	33
8.2	Grenzen der aktuellen Umsetzung . . . . .	34
8.3	Vorschläge für zukünftige Weiterentwicklungen . . . . .	36

# 1 Einleitung

## 1.1 Motivation

In den letzten Jahren ist die Zahl der tödlichen Verkehrsunfälle bedauerlicherweise gestiegen, was auf eine Vielzahl von Faktoren wie die steigende Verkehrsdichte sowie mangelnde Aufmerksamkeit und Sorgfalt im Straßenverkehr zurückzuführen sein kann. Um dieser negativen Entwicklung entgegenzuwirken, wurden unterschiedliche Maßnahmen ergriffen. Neben strengerer Sicherheitsgesetzen haben sich vor allem technologische Innovationen wie Fahrzeugkameras, Sensorik und verschiedene Fahrerassistenzsysteme als wesentliche Instrumente zur Unfallprävention herauskristallisiert.



Abbildung 1: Beispiel Rechtsabbiegen LKW

Eine besonders bedeutende Neuerung im Bereich der Lastkraftwagen (LKW)-Sicherheit stellen Abbiegeassistenten dar. Diese Systeme helfen, den toten Winkel zu reduzieren und somit Unfälle – insbesondere beim Rechtsabbiegen – zu vermeiden. Trotz dieser technischen Fortschritte besteht weiterhin Potenzial für weitere Verbesserungen. Eine umfassende Forschung und Entwicklung im Bereich von Fahrerassistenzsystemen könnte zukünftig dazu beitragen, das allgemeine Verkehrsrisiko weiter zu senken und die Verkehrssicherheit signifikant zu erhöhen. [1]



## 1.2 Zielsetzung

Zielsetzung dieser Studienarbeit ist es, einen leistungsfähigen Datenlogger zu entwickeln und die Visualisierung zu verbessern, um die Funktionalität des Fahrerassistenzsystems zu erhöhen und dadurch dessen Entwicklung zu erleichtern. Durch die Implementierung eines leistungsfähigen Datenloggers sollen Messwerte systematisch und zuverlässig erfasst werden können, was eine effektivere Zusammenarbeit im Entwicklungsteam ermöglicht und die Notwendigkeit einer dauerhaften Hardwareverbindung reduziert. Die Optimierung der Visualisierung dient dazu, Messergebnisse klarer und übersichtlicher darzustellen, um künftige Analysen und Tests zu vereinfachen und somit die Qualität und Genauigkeit der Positionsbestimmung zu erhöhen. Diese Verbesserungen sollen letztlich zu einer höheren Effizienz im Entwicklungsprozess führen und somit einen wesentlichen Beitrag zur Erhöhung der Verkehrssicherheit leisten.

## **2 Rückblick auf das mobile Warnsystem**

### **2.1 Konzept und Zielsetzung**

Die vorherige Studienarbeit verfolgte das Ziel, ein mobiles Warnsystem zur Minimierung von Abbiegeunfällen zwischen LKW und ungeschützten Verkehrsteilnehmenden wie Fußgängerinnen und Radfahrerinnen zu entwickeln. Zentrales Element dieses Systems war eine mobile Applikation, die als aktiver Bluetooth-Sender fungieren sollte. In Kombination mit einem am LKW montierten Empfängerboard (basierend auf dem u-blox XPLR-AOA-1 Kit) sollte mithilfe der Angle-of-Arrival (AoA)-Technologie die Position des Smartphones lokalisiert und bei drohender Gefahr eine Warnung ausgegeben werden. Das System versprach einen kostengünstigen und einfach zugänglichen Ansatz zur Verbesserung der Verkehrssicherheit im städtischen Raum.

### **2.2 Bluetooth AoA und technische Grundlagen**

Die Angle-of-Arrival (AoA)-Technologie ist Teil des Bluetooth 5.1-Standards und ermöglicht die Positionsbestimmung eines Senders durch Messung des Einfallswinkels der Funksignale an mehreren Antennen eines Empfängers [2], [3]. Voraussetzung hierfür ist jedoch ein exakter Zugang zu den Bluetooth-Sendeparametern sowie eine Antennenkonfiguration mit bekannten geometrischen Abständen. Das u-blox XPLR-AOA-1 Explorer Kit stellt hierzu eine geeignete Hardwarelösung dar, da es mit einem AoA-fähigen Empfängerboard und einem sogenannten Tag (Sender) ausgestattet ist. Ziel der Arbeit war es, das Smartphone funktional durch diesen Tag zu ersetzen.

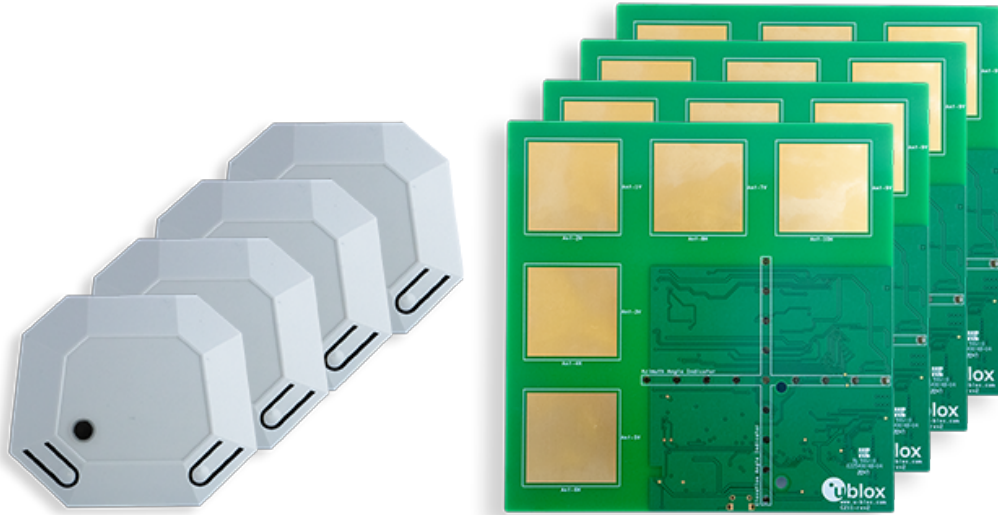


Abbildung 2: XPLR-AOA Explorer Kit

## 2.3 Herausforderungen und Gründe für die Projektpause

Im praktischen Verlauf der Umsetzung traten mehrere schwerwiegende technische Limitierungen auf, die die Fortführung des Projekts verhinderten:

- Aktuelle Smartphone-Firmware (insbesondere auf Android-Basis) verhindert in der Regel den vollständigen Zugriff auf die Bluetooth-Sendeparameter. Ein gezieltes Emittieren von Bluetooth Low Energy (BLE)-Signalen, wie es zur AoA-Ortung erforderlich ist, ist mit dem Standard-Software Development Kit (SDK) nicht möglich [4].
- Nur wenige aktuelle Mobilgeräte unterstützen Bluetooth 5.1 vollständig, was die Reichweite und Genauigkeit der Ortung stark einschränkt [5].

- Die Emulation des u-blox Tags durch das Smartphone scheiterte daher an mangelnden Systemrechten, fehlendem Low-Level-Application Programming Interface (API)-Zugriff und nicht ausreichender Hardwareunterstützung.

Diese Faktoren führten dazu, dass das Projekt in der geplanten Form nicht abgeschlossen werden konnte. Die zugrundeliegende Idee bleibt jedoch vielversprechend und kann in Zukunft wieder aufgegriffen werden, sobald sich die technischen Rahmenbedingungen verbessert haben.

## 3 Grundlagen Datenlogger

### 3.1 Zweck und Funktionalität eines Datenloggers

Ein Datenlogger ist ein autonom arbeitendes Gerät oder Softwaremodul, das physikalische oder digitale Messwerte über einen definierten Zeitraum hinweg aufzeichnet. Ziel ist es, Veränderungen systematisch und zuverlässig zu erfassen, um sie später analysieren, auswerten oder dokumentieren zu können [6], [7]. Typische erfasste Daten umfassen beispielsweise Temperatur, Spannung, Zeitstempel, Lage- oder Positionsdaten.



Abbildung 3: Datenlogger Cube (Avisaro 2.0) zur Speicherung von Sensor- und Prozessdaten

Im Gegensatz zu interaktiven Messsystemen arbeitet ein Datenlogger in der Regel unabhängig und ohne dauerhafte Verbindung zu einem Steuergerät. Dadurch eignet er sich besonders für mobile oder schwer zugängliche Anwendungen. Die kontinuierliche Aufzeichnung ermöglicht eine lückenlose Nachverfolgbarkeit, was insbesondere bei der Entwicklung, Fehlersuche und Validierung technischer Systeme von großer Bedeutung ist [8].

Wichtige Eigenschaften eines Datenloggers umfassen unter anderem eine ausreichende Speicherkapazität, eine hohe Energieeffizienz sowie die Kompatibilität zu standardisierten Datenformaten wie Comma-separated values (CSV) oder JavaScript Object Notation (JSON). Moderne Logger bieten

darüber hinaus Schnittstellen für drahtlose Datenübertragung oder eine automatisierte Synchronisation mit Analysetools [9].

### 3.2 Anwendungsbereiche im Kontext der Studienarbeit

Im Rahmen dieser Studienarbeit wird der Datenlogger gezielt eingesetzt, um die Entwicklungsarbeit am Bluetooth-AoA-basierten Lokalisierungssystem effizienter und flexibler zu gestalten. Ziel ist es, die Abhängigkeit von einer aktiven Verbindung zur Hardware während der Test- und Anpassungsphasen zu minimieren [6]. Personen, die an der Parametrierung oder Feinjustierung des Systems arbeiten, sollen in die Lage versetzt werden, auch ohne direkte Verbindung zur u-blox-Hardware auf reale Messdaten zuzugreifen.

Der Datenlogger dient dabei nicht nur der reinen Aufzeichnung, sondern ermöglicht die Speicherung von tatsächlich erfassten, originalgetreuen Messwerten. Diese Werte können anschließend in separate Programme oder Auswertungswerkzeuge importiert werden, um dort Berechnungen, Analysen und grafische Darstellungen durchzuführen. Änderungen an Parametern oder Auswertealgorithmen können somit auf Basis gespeicherter Daten vorgenommen und getestet werden, ohne dass dafür eine erneute Datenerfassung mit der realen Sensorik notwendig ist [7].

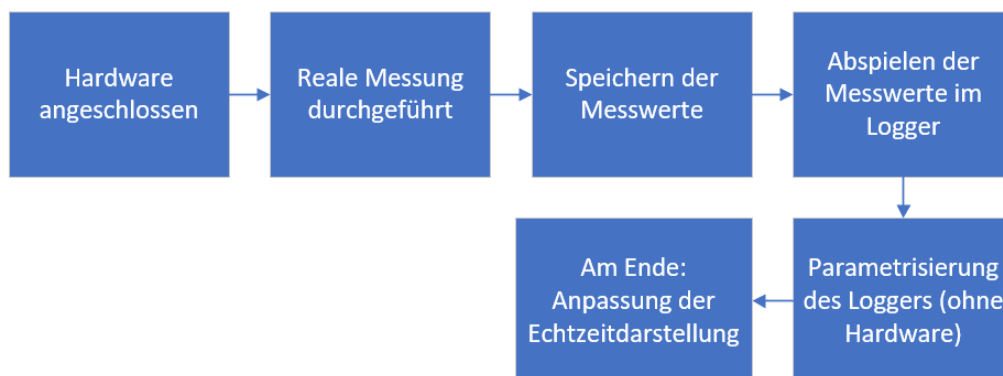


Abbildung 4: Integration Datenlogger

Darüber hinaus erlaubt der Datenlogger eine „Offline-Simulation“ oder ein Daten-Replay mit echten Werten. Diese Vorgehensweise bietet den Vorteil, dass Optimierungen zunächst im Testsystem geprüft werden können. Erst wenn ein Ergebnis zufriedenstellend ist, wird es auf das reale System

übertragen. Damit leistet der Datenlogger einen wesentlichen Beitrag zur Entkopplung von Entwicklung und Hardwareverfügbarkeit [10].

### **3.3 Vorhandene Herausforderungen und Lösungsansätze**

Bei der Entwicklung eines zuverlässigen Datenloggers im Kontext des Bluetooth-AoA-Systems treten verschiedene Herausforderungen auf. Eine der zentralen Schwierigkeiten liegt in der exakten zeitlichen Zuordnung der erfassten Daten. Für eine sinnvolle Auswertung müssen Zeitstempel, Empfangswinkel und weitere Messgrößen synchronisiert und konsistent gespeichert werden [9].

Ein weiteres Problem stellt die effiziente und verlustfreie Speicherung großer Datenmengen dar. Hierbei müssen sowohl die Speicherkapazität als auch die Lesbarkeit und Weiterverwendbarkeit berücksichtigt werden. Gerade im Hinblick auf die spätere Analyse mit gängigen Tools wie Python oder MATLAB ist ein gut strukturiertes Datenformat – etwa CSV oder JSON – von hoher Bedeutung [8].

Auch die Integration in bestehende Entwicklungsprozesse erfordert eine durchdachte Schnittstellengestaltung. Der Datenlogger muss flexibel und modular aufgebaut sein, damit er problemlos in verschiedene Testumgebungen eingebunden werden kann. Gleichzeitig soll der Energieverbrauch möglichst gering gehalten werden, um auch den mobilen Einsatz über längere Zeiträume hinweg zu ermöglichen [7].

Lösungsansätze bestehen in der Verwendung eines einfachen, standardisierten Speicherformats, einem modularen Softwaredesign mit klar dokumentierten Schnittstellen sowie in der Implementierung grundlegender Fehlererkennungs- und Synchronisationsmechanismen. Diese Maßnahmen sollen sicherstellen, dass der Datenlogger zuverlässig, energieeffizient und nutzerfreundlich eingesetzt werden kann [6].

## 4 Entwicklung des Datenloggers

### 4.1 Anforderungen an die Software

Die zu entwickelnde Datenlogger-Software muss sich nahtlos in die bestehende Systemarchitektur integrieren lassen und gleichzeitig zentrale Anforderungen erfüllen: Dazu zählen eine robuste Speicherung relevanter Messdaten, flexible Möglichkeiten zur Wiederverwendung der Daten für Tests und Visualisierungen sowie eine einfache Wartbarkeit und Erweiterbarkeit des Codes.

Ein zentrales Ziel war die Entkopplung der Datenerfassung von der physischen Hardware. Durch die Offline-Nutzung gespeicherter Messdaten sollen Entwickler in die Lage versetzt werden, auch ohne Zugang zur u-blox-Hardware Analysen durchzuführen und Visualisierungen zu testen.

Darüber hinaus wurde eine klar strukturierte, leicht lesbare Datenhaltung gefordert, die eine spätere Auswertung und Visualisierung mit gängigen Tools ermöglicht. Auch Mehrbenutzerfähigkeit und Plattformunabhängigkeit wurden als wünschenswerte Eigenschaften identifiziert.

### 4.2 Auswahl geeigneter Technologien und Tools

Die Softwarearchitektur wurde so gewählt, dass vorhandene Strukturen optimal weiterverwendet werden können. Die bestehende Kommunikation mit der u-blox-Hardware basiert auf einer performanten C++-Schicht, die beibehalten wurde. Neue Komponenten – insbesondere der Datenlogger und die Replay-Funktionalität – wurden hingegen in Python implementiert. Diese Kombination ermöglicht flexible Anpassungen bei geringem Änderungsaufwand, ohne die Stabilität des bestehenden Kerncodes in C++ zu beeinträchtigen. Diese Vorgehensweise bietet eine effiziente Balance zwischen Leistungsfähigkeit (via C++) und Entwicklungsproduktivität (via Python) [11].

Zur Speicherung der Messdaten wurde das JSON-Format ausgewählt. Dieses Format erlaubt eine strukturierte Ablage komplexer Datensätze, bestehend aus Zeitstempeln, AoA-Winkeln, Signalstärken sowie weiteren Metadaten. Dies erlaubt eine maschinenlesbare und standardisierte Datenhaltung, die ideal für spätere Analysen geeignet ist [12].

Durch diese Technologieentscheidung konnten die in Abschnitt 4.1 genannten Anforderungen erfüllt werden: Die Lösung ist plattformunabhängig, modular, nachvollziehbar und unterstützt eine effiziente Weiterentwicklung sowie Zusammenarbeit im Team.



## 4.3 Implementierung und Integration in bestehende Systeme

Die Implementierung des Datenloggers erfolgte im Rahmen eines bestehenden Lokalisierungssystems, das auf der Bluetooth-AoA-Technologie basiert. Ziel war es, die Erfassung, Speicherung und spätere Analyse von Messwerten so zu gestalten, dass diese unabhängig von einer Live-Hardwareverbindung möglich ist und flexibel in den Entwicklungsprozess integriert werden kann.

**Messung – Entstehung der Rohdaten** Im Zentrum der Messung stehen zwei Hauptkomponenten: das sogenannte Tag, das als zu verfolgendes Objekt fungiert und kontinuierlich Signale sendet, sowie mindestens zwei Anker (Anchors), die als fest installierte Empfangseinheiten dienen. Die Anker, ausgestattet mit mehreren Antennen, empfangen das Signal des Tags und bestimmen den Einfallswinkel (AoA), unter dem das Signal ankommt.

**Datenerfassung und -aufbereitung** Die Kommunikation zwischen Ankern und Rechner erfolgt typischerweise über eine serielle Schnittstelle oder BLE. Ein Python-Skript (z. B. `getAnchorData.py`) liest die Rohdaten kontinuierlich aus. Für jede einzelne Messung werden strukturierte Informationen erfasst, darunter:

- **anchors:** Positionen der Anker, z. B. `[[3, 0], [0, 0]]`
- **angles:** Die gemessenen Winkel, z. B. `[-31, 24]`
- **sensor\_values:** Eine Liste weiterer Sensordaten:

```
[
    {"theta": 90, "val": -31, "pos": [3, 0], "
      speed_along_line": 0, "risk_level": 1},
    {"theta": 90, "val": 24, "pos": [0, 0], "
      speed_along_line": 0, "risk_level": 1}
]
```

Die Daten werden zeilenweise im JSON Lines-Format (`.jsonl`) gespeichert. Jede Zeile enthält einen Zeitstempel und die zugehörigen Sensordaten. Ein Beispiel für eine gespeicherte Messung ist:

```
{"timestamp": "2025-06-03T06:32:50.140342",
  "raw_sensor_data": {
    "anchors": [[3, 0], [0, 0]],
```

```
"angles": [-31, 24],  
"sensor_values": [...]  
}}
```

**Berechnung der Tag-Position – Triangulation** Aus den gemessenen Winkeln und bekannten Positionen der Anker wird die Position des Tags durch Triangulation berechnet. Jeder Anker definiert eine Gerade, auf der sich der Tag befinden könnte. Die Schnittpunktberechnung dieser Geraden liefert eine Positionsschätzung. Die Richtung jeder Linie ergibt sich aus dem gemessenen Winkel mittels:

$$dx = \sin(\theta), \quad dy = \cos(\theta)$$

Der Schnittpunkt wird mithilfe der folgenden Gleichung bestimmt:

$$t_1 = \frac{(x_2 - x_1) \cdot dy_2 - (y_2 - y_1) \cdot dx_2}{dx_1 \cdot dy_2 - dy_1 \cdot dx_2}$$

und

$$x = x_1 + t_1 \cdot dx_1, \quad y = y_1 + t_1 \cdot dy_1$$

Diese Berechnung kann sowohl live während der Datenerfassung als auch im Nachgang im sogenannten Replay-Modus erfolgen.

#### **Legende zur Formel:**

- $x_1, y_1$ : Koordinaten des ersten Ankers
- $x_2, y_2$ : Koordinaten des zweiten Ankers
- $\theta_1, \theta_2$ : Empfangene Winkelinformationen (AoA) an Anker 1 bzw. Anker 2
- $dx_1, dy_1$ : Richtungsvektor vom ersten Anker, berechnet mit  $\sin(\theta_1), \cos(\theta_1)$
- $dx_2, dy_2$ : Richtungsvektor vom zweiten Anker analog dazu
- $t_1$ : Skalierungsfaktor entlang der Linie des ersten Ankers zur Schnittpunktberechnung
- $x, y$ : Berechnete Position des Tags im zweidimensionalen Raum

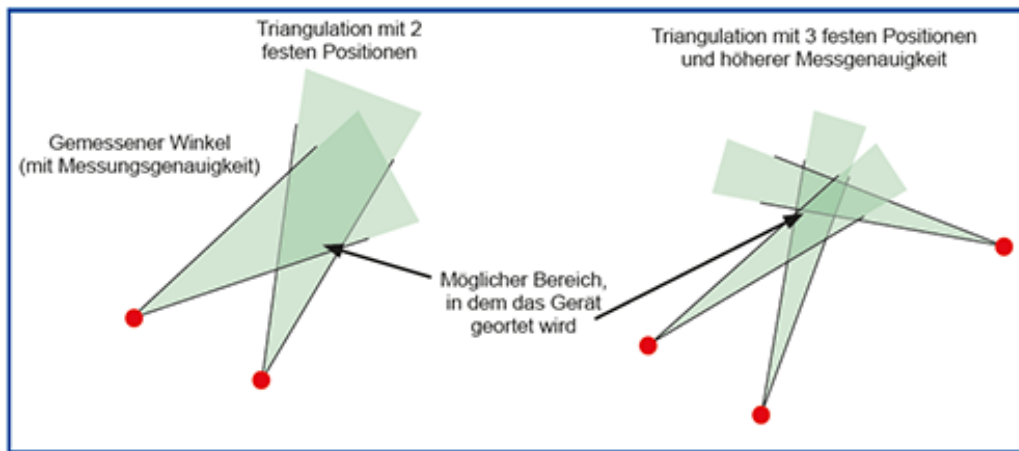


Abbildung 5: Beispiel Triangulation

**Speicherung und Weiterverarbeitung** Sämtliche berechneten Werte – Winkel, Position, Sensordaten – werden chronologisch gespeichert. Das Python-Skript `replayLogger.py` ermöglicht das Einlesen dieser Datei und berechnet bei Bedarf die Position erneut. Dies erlaubt eine erneute Analyse oder die Anwendung überarbeiteter Algorithmen.

**Nachträgliche Optimierung der Rechenlogik** Während der frühen Entwicklungsphase bestand ein grundlegendes Problem darin, dass beim Replay die gespeicherten Daten lediglich wiedergegeben wurden, wie sie während der ursprünglichen Messung aufgezeichnet worden waren. Das bedeutete, dass keine Neuberechnung der Tag-Position erfolgte – Anpassungen an Parametern oder Algorithmen blieben somit wirkungslos.

Im weiteren Verlauf wurde dieser Fehler behoben. Das Replay-Modul (`replayLogger.py`) wurde so erweitert, dass beim Einlesen der Logdaten die gespeicherten Rohwerte wie Winkel und Ankerpositionen erneut verarbeitet werden. Auf diese Weise erfolgt bei jedem Replay eine aktuelle Berechnung der Position mittels Triangulation. Dadurch können Änderungen in der Positionsberechnung zunächst rein softwareseitig überprüft und validiert werden – ganz ohne Hardwareeinsatz. Nach erfolgreicher Evaluierung lassen sich die neuen Parameter und Berechnungsverfahren schließlich in das Echtzeit-Tracking-System übernehmen.

**Visualisierung der Messdaten** Der Datenlogger stellt über eine Transmission Control Protocol (TCP)-Verbindung eine Schnittstelle zur gra-

fischen Visualisierung her (durch das Skript `ui.py`). Jede Messung wird als JSON-Objekt an die Benutzeroberfläche übertragen und enthält neben der berechneten Position auch zugehörige Sensordaten. Die Benutzeroberfläche stellt folgende Informationen dar:

- Die aktuelle Position des Tags
- Visualisierte Anker (Empfängerboards)
- Zusatzinformationen wie Bewegung oder Risikobewertung

**Zusammenfassung des Datenflusses** Der vollständige Ablauf lässt sich wie folgt beschreiben:

1. **Messung:** Anker empfangen Signale und bestimmen Winkel sowie Sensordaten.
2. **Datenerfassung:** Python-Skripte lesen die Daten aus und speichern sie als JavaScript Object Notation Lines (JSONL).
3. **Speicherung:** Die Daten werden zeilenweise mit Zeitstempel archiviert.
4. **Replay:** Ein weiteres Skript liest die Daten, berechnet ggf. die Position und sendet sie weiter.
5. **Visualisierung:** Eine Benutzeroberfläche stellt Position und Sensordaten visuell dar.

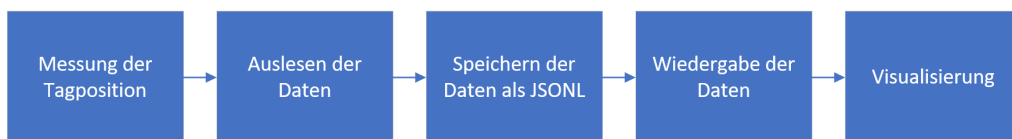


Abbildung 6: Ablauf Funktion Datenlogger

### Beispiel einer vollständigen Messung

- Anker 1: Winkel =  $-31^\circ$ , Position =  $[3, 0]$
- Anker 2: Winkel =  $24^\circ$ , Position =  $[0, 0]$

#### Speicherung:

```
{"timestamp": "...",  
  "raw_sensor_data": {  
    "anchors": [[3, 0], [0, 0]],  
    "angles": [-31, 24],  
    "sensor_values": [...]  
  }  
}
```

**Replay:** Der Datenlogger berechnet erneut die Position und sendet z. B.:

```
{"point": {"position": [x, y], "Uncertainty": 0},  
  "sensor_values": [...]}
```

**Visualisierung:** Die Benutzeroberfläche zeigt Position, Bewegung und Risikobewertung an.

**Fazit** Durch die Trennung von Messung, Speicherung, Wiederverwendung und Visualisierung wurde ein System geschaffen, das sowohl im Live-Betrieb als auch für Offline-Analysen geeignet ist. Die Nutzung des JSONL-Formats gewährleistet einfache Nachverarbeitung und hohe Transparenz im Entwicklungsprozess.

## 4.4 Ergebnisse und Evaluation

Die Implementierung des Datenloggers konnte erfolgreich in die bestehende Systemumgebung integriert werden. Die Erweiterung erfolgte durch ein einzelnes, in Python geschriebenes Modul, das mit nur wenigen Anpassungen in den vorhandenen Code eingebunden wurde. Diese modulare Herangehensweise ermöglichte eine einfache Integration, ohne die Stabilität der bestehenden C++- und Python-Strukturen zu beeinträchtigen.

Der Datenlogger ist in der Lage, strukturierte Messdaten zuverlässig zu erfassen, im JSONL-Format zu speichern und diese in der `replayLogger.py` zur erneuten Verarbeitung und Visualisierung bereitzustellen. Durch die gezielte Nachberechnung der gespeicherten Parameter kann die Parametrisierung und Optimierung der Tag-Ortung nun auch ohne aktiven Hardwarezugang erfolgen. Dies stellt einen wesentlichen Fortschritt gegenüber früheren

Ansätzen dar, bei denen für jede Änderung eine Live-Verbindung zur u-blox-Hardware erforderlich war.

Zur weiteren Erleichterung der Nutzung wurde eine batch (BAT)-Datei erstellt, die den Datenlogger automatisch startet und eine benutzerfreundliche Auswahl der abzuspielenden Daten ermöglicht. Dadurch können mehrere aufgezeichnete Datensätze parallel gespeichert, umbenannt und bei Bedarf erneut abgespielt werden. Dies erleichtert sowohl die Organisation als auch die Wiederverwendbarkeit der Messdaten erheblich.

Die Kommunikation zwischen Logger und Visualisierung über TCP funktioniert stabil, sodass eine Echtzeit- oder zeitnahe Darstellung der Messdaten in der grafischen Oberfläche möglich ist. Die Darstellung der Ergebnisse im User Interface (UI) (Visualisierung) ist erfolgreich umgesetzt worden; die gespeicherten Positions- und Sensordaten lassen sich korrekt laden und werden visuell ansprechend aufbereitet.

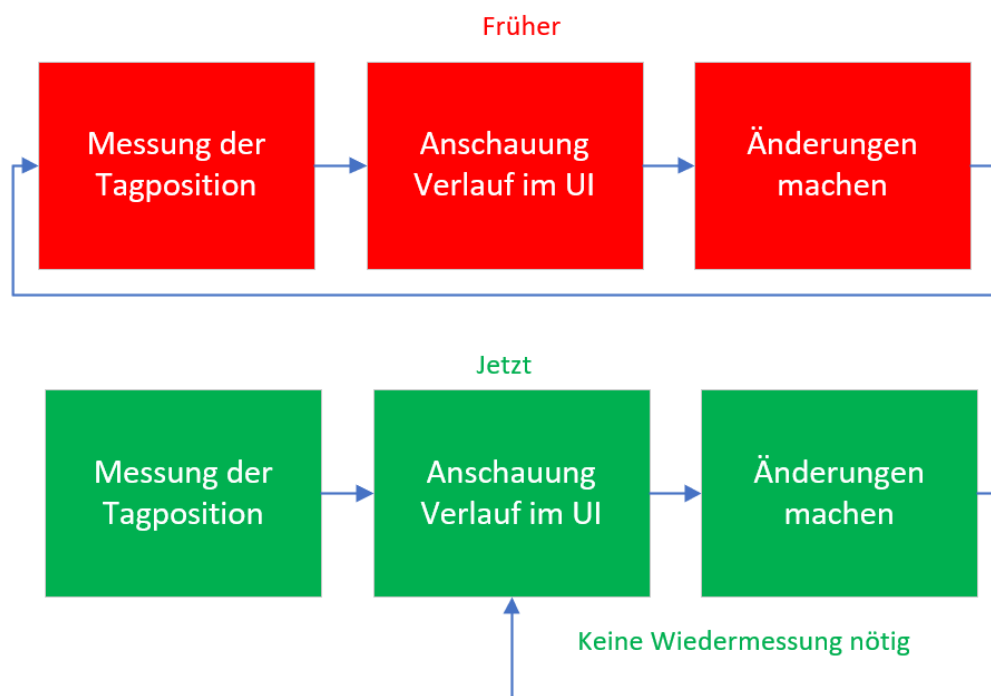


Abbildung 7: Vergleich Parametrisierung früher und heute

Ein weiterer Vorteil liegt in der verbesserten Teamfähigkeit des Systems. Da echte Messwerte gespeichert und wiederverwendet werden können, ist eine parallele Bearbeitung durch mehrere Teammitglieder möglich – unabhängig

von der Verfügbarkeit der physischen Hardware.

Aktuell wurden nur kurze bis mittellange Messreihen (mehrere Minuten) getestet, die zuverlässig aufgezeichnet und verarbeitet werden konnten. Für den produktiven Einsatz müssen jedoch noch weiterführende Tests mit längeren Aufzeichnungen durchgeführt werden, um Speicherstabilität und Verarbeitungsgeschwindigkeit auch bei größeren Datenmengen zu validieren.

Insgesamt bildet der Datenlogger eine stabile Grundlage für künftige Entwicklungs- und Testarbeiten und ermöglicht sowohl effizientere als auch hardwareunabhängige Validierungsprozesse.

## 5 Grundlagen der Visualisierung

### 5.1 Anforderungen an eine effektive Visualisierung

Die visuelle Darstellung von Mess- und Sensordaten spielt eine zentrale Rolle bei der Entwicklung technischer Systeme. Im Kontext dieser Studienarbeit soll die Visualisierung nicht nur als Ausgabeinstrument dienen, sondern als aktives Analysewerkzeug die Entwicklung des Fahrerassistenzsystems unterstützen. Daraus ergeben sich spezifische Anforderungen an Struktur, Funktionalität und Performance der Visualisierung.

Ein wesentliches Kriterium ist die **Klarheit und Verständlichkeit** der Darstellung. Die Position des zu verfolgenden Objekts (Tag), die Winkelmessungen sowie weitere Sensordaten wie Geschwindigkeit oder Risikoindikatoren müssen für die Benutzer klar erkennbar und intuitiv interpretierbar sein. Die gewählte Darstellungsform darf keine zusätzliche Komplexität einführen, sondern soll das Verständnis der Systemdynamik fördern [13].

Zudem ist **Reaktionsfähigkeit** von hoher Bedeutung. Insbesondere bei der Wiedergabe von Logdaten im Replay-Modus ist sicherzustellen, dass Positionsdaten und Zustandsänderungen nahezu in Echtzeit visualisiert werden, ohne spürbare Verzögerung oder Datenverluste. Dies ist entscheidend für die genaue Nachverfolgung zeitkritischer Situationen und zur Validierung der Algorithmen [14].

Eine **strukturierte und modulare Darstellung** ermöglicht es, verschiedene Datenebenen simultan darzustellen. Dazu gehören beispielsweise die grafische Repräsentation von Ankerpositionen, Trajektorien, Messwinkeln sowie Risikoabschätzungen in Form von Farbcodierungen, Symbolen oder Vektorpfeilen. Die visuelle Trennung dieser Elemente soll die Lesbarkeit erhöhen und gleichzeitig Korrelationen zwischen den Daten sichtbar machen.

Weiterhin ist **Flexibilität** in der Konfiguration erforderlich. Die Visualisierung soll es ermöglichen, verschiedene Parameter anzupassen oder unter-

schiedliche Datensätze zu vergleichen. Auf diese Weise können gezielte Analysen durchgeführt und das Verhalten des Systems unter unterschiedlichen Bedingungen besser nachvollzogen werden.

Die Software muss zudem eine **hohe Stabilität und Performance** aufweisen. Auch bei großen Datenmengen oder längeren Wiedergaben dürfen keine Speicherprobleme oder Verzögerungen auftreten. Gleichzeitig soll der Ressourcenverbrauch moderat bleiben, um eine Nutzung auf Standardhardware zu gewährleisten.

Darüber hinaus ist die **Schnittstellenkompatibilität** entscheidend. Die Visualisierung kommuniziert über eine TCP-Verbindung mit dem Datenlogger und verarbeitet strukturierte JSON-Daten. Sie muss in der Lage sein, kontinuierlich neue Informationen entgegenzunehmen, korrekt zu interpretieren und grafisch darzustellen [15].

Schließlich sollte die Visualisierung eine **benutzerfreundliche Interaktion** bieten. Die Bedienoberfläche muss auch für neue Projektmitglieder oder externe Tester leicht verständlich sein. Eine klare Struktur und einfache Bedienlogik erhöhen die Zugänglichkeit und erleichtern die Nutzung im Entwicklungsteam.

## 5.2 Darstellungsmöglichkeiten und -technologien

Die grafische Darstellung von Messergebnissen ist ein zentrales Element zur Analyse, Entwicklung und Validierung des Fahrerassistenzsystems. Ziel der Visualisierung ist es, komplexe Daten wie Winkelmessungen, berechnete Positionen und Sensordaten so aufzubereiten, dass sie schnell erfasst und zielgerichtet interpretiert werden können.

**Darstellungsformen** Für die Anforderungen dieses Projekts wurde eine zweidimensionale Darstellung gewählt. In einem kartesischen Koordinatensystem werden sowohl die festen Positionen der Anker als auch die berechnete Position des Tags eingezeichnet. Zur Darstellung zusätzlicher Informationen, wie beispielsweise der Risikobewertung, kommt eine Farbcodierung zum Einsatz: Grün signalisiert eine sichere Entfernung, Gelb eine Warnsituation und Rot eine mögliche Kollisionsgefahr.

Auch die Darstellung der Sensordaten erfolgt visuell, etwa durch Richtungslinien oder Symbole, die Informationen wie potenzielle Gefahrenzonen oder die Antennenausrichtung übermitteln.

Zur besseren Nachvollziehbarkeit der Messabläufe wurden Replays implementiert, mit denen frühere Positionen nacheinander dargestellt werden können. Diese Funktion unterstützt nicht nur die Analyse von Bewegungsmustern, sondern ermöglicht auch eine gezielte Anpassung der Systempara-



meter sowie eine anschauliche Präsentation auf Messen oder in Testumgebungen.

**Technologische Umsetzung** Für die technische Realisierung wurde Python als Basissprache verwendet, da es bereits im bestehenden Projektumfeld (z. B. Datenlogger, TCP-Client) genutzt wird und eine einfache Integration von Visualisierungs- und Netzwerkmodulen ermöglicht. Die grafische Benutzeroberfläche basiert auf **Tkinter** und nutzt ein Zeichenfenster (**Canvas**), das dynamisch aktualisiert wird, um Positionen, Sensorrichtungen und Kontextinformationen darzustellen [16].

Zur Anzeige der Daten kommen vor allem folgende Technologien zum Einsatz:

- **Tkinter:** Zur Umsetzung der grafischen Oberfläche, inklusive dynamischer Zeichnung von Positionen, Sensoren und Symbolen [16].
- **TCP-Kommunikation:** Die Visualisierung empfängt die Daten über eine TCP-Verbindung, die vom Datenlogger bereitgestellt wird (Skript `ui.py`) [15].
- **JSON-Verarbeitung:** Die Logdateien und Echtzeitdaten liegen im JSON-Format vor und werden zur Laufzeit dekodiert [17].

Der Aufbau der Visualisierung ist modular gehalten, sodass zukünftige Änderungen – etwa am Format der Sensordaten oder an der Positionsrechnung – ohne tiefgreifende Eingriffe umgesetzt werden können.

**Schnittstellen und Erweiterbarkeit** Die Benutzeroberfläche ist so gestaltet, dass verschiedene Datenquellen unterstützt werden: Neben Live-Daten aus dem Logger ist auch ein Replay-Modus möglich, in dem ältere Messungen abgespielt werden. Dies wird durch einen einfachen Startbefehl (über eine Batch-Datei oder Kommandozeilenparameter) gesteuert.

Die Datenstruktur aus der JSONL-Datei ermöglicht eine verlustfreie Weiterverarbeitung der gespeicherten Informationen. Durch die Trennung von Backend (Logger/Replay) und Frontend (Visualisierung) ist das System erweiterbar. Eine spätere Portierung auf fortgeschrittenere GUI-Frameworks (z. B. **PyQt** oder webbasierte Tools wie **Plotly Dash**) ist ebenso denkbar wie eine Erweiterung auf 3D-Darstellungen mithilfe von **OpenGL** oder **Unity**.

**Optionale Abbildungsempfehlung** Eine illustrative Abbildung könnte den schematischen Ablauf der Datenvisualisierung zeigen – von der Messung über die Speicherung bis zur Anzeige. Beispielhaft könnte sie folgende Elemente enthalten:

- Position der Anker (als fixe Punkte)
- Messwinkel (als Linien vom Anker ausgehend)
- Position des Tags (als Punkt mit Zeitstempel)
- Risikobewertung als Farbring oder Symbol
- Spurverlauf der Tag-Position (z. B. gestrichelte Linie)

Eine solche schematische Darstellung erleichtert das Verständnis des Visualisierungskonzepts auch für fachfremde Leserinnen und Leser.

**Fazit** Die gewählten Technologien und Darstellungsformen ermöglichen eine performante, verständliche und flexible Visualisierung der Messergebnisse. Sie bilden damit eine wichtige Grundlage für die weiterführende Analyse, Parametrisierung und Validierung des Fahrerassistenzsystems.

## 6 Entwicklung der neuen Visualisierung

### 6.1 Analyse der bestehenden Visualisierung

Die bisherige grafische Benutzeroberfläche (UI) wurde in Python entwickelt und diente der Echtzeitdarstellung der aus dem Bluetooth-AoA-System ermittelten Tag-Position. Als zentrales Element wurde ein zweidimensionales kartesisches Koordinatensystem verwendet, innerhalb dessen ein einzelner Punkt die Bewegung des Tags repräsentierte. Die Position dieses Punktes wurde entweder durch eine direkte Live-Messung mit der Hardware oder durch eine vereinfachte Simulation erzeugt – eine Möglichkeit zur Wiederverwendung gespeicherter Daten durch einen Datenlogger war zu diesem Zeitpunkt noch nicht implementiert [16].

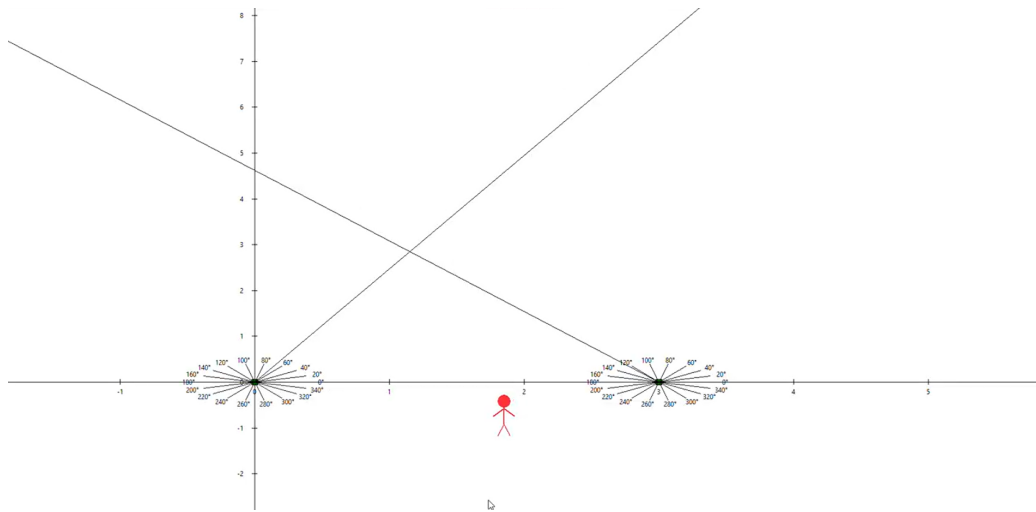


Abbildung 8: Alte Visualisierung

Zur besseren Nachvollziehbarkeit der geometrischen Zusammenhänge wurden auch die fest installierten Empfangseinheiten (Anker) im Koordinatensystem visualisiert. Von deren Positionen ausgehend wurden Linien gezeichnet, welche die gemessenen Einfallswinkel (AoA) darstellten. Die Idee dahinter war, die Triangulation – also die Schnittpunktberechnung zweier Richtungslinien – visuell darzustellen und die damit berechnete Tag-Position zu validieren.

Allerdings wies diese Darstellung mehrere funktionale und darstellerische Einschränkungen auf. Eine grundlegende Schwäche bestand darin, dass der dargestellte Schnittpunkt der Winkel-Linien oft nicht exakt mit dem angezeigten Punkt des Tags übereinstimmte. Dies führte zu Inkonsistenzen, die insbesondere bei der Bewertung der Lokalisierungsgenauigkeit zu Verwirrung führen konnten.

Darüber hinaus fehlten wichtige Interaktionsmöglichkeiten und Darstellungsmodi: Sensorwerte oder Risikobewertungen konnten nicht separat angezeigt oder analysiert werden. Eine Zeitschrittsteuerung oder ein Replay-Modus waren nicht vorhanden. Da der Datenlogger zum damaligen Zeitpunkt noch nicht existierte, beschränkte sich die Funktionalität der Oberfläche auf Live-Datenströme oder manuell eingespeiste Simulationsdaten.

Zusammenfassend war die ursprüngliche Visualisierung funktional auf das Wesentliche reduziert, ermöglichte aber weder eine tiefere Analyse noch eine Nachbearbeitung historischer Messdaten. Die Einführung des Datenloggers [17] und eine verbesserte Visualisierung sollen diese Defizite beheben und eine fundierte, nachvollziehbare sowie interaktive Darstellung aller relevanten

Systemparameter ermöglichen.

## 6.2 Konzept einer verbesserten Visualisierung

Basierend auf der Analyse der bisherigen Darstellung ergeben sich mehrere Ansatzpunkte für eine funktional und ästhetisch verbesserte Visualisierung der Tag-Ortung. Ziel ist es, die Ausgabe so zu gestalten, dass auch technisch weniger versierte Personen – beispielsweise Besucher auf Messen oder Mitglieder in interdisziplinären Projektteams – intuitiv die Funktionsweise und Aussagekraft des Fahrerassistenzsystems nachvollziehen können **human factors vis**.

Ein zentrales Element der neuen Visualisierung ist die verbesserte Darstellung des Tags. Bisher wurde dieser lediglich als bewegender Punkt im Koordinatensystem dargestellt, was der realen Anwendung – z. B. einem Fußgänger oder Fahrradfahrer im Straßenverkehr – kaum gerecht wurde. Zukünftig soll der Tag durch ein erkennbares Modell wie etwa eine stilisierte menschliche Figur (z. B. ein Stickman) ersetzt werden. Zusätzlich ist vorgesehen, visuelle Elemente wie ein LKW-Modell in die Darstellung zu integrieren, um die reale Gefahrenlage bei Abbiegesituationen plausibler zu simulieren.

Zur Verbesserung der Verständlichkeit soll die Bewegung des Tags flüssiger und zeitlich realistischer erfolgen. In der bisherigen Version war die Bewegung teils sprunghaft oder verzögert, was eine genaue Nachverfolgung erschwerte. Durch optimierte Synchronisation mit den übermittelten Messwerten soll die visuelle Bewegung stärker der tatsächlichen Bewegung des realen Objekts entsprechen.

Darüber hinaus ist geplant, ein interaktives Interface mit zusätzlichen Informationen bereitzustellen. So sollen Parameter wie Winkel, Positionskordinaten oder Risikoindikatoren dynamisch eingeblendet und aktualisiert werden können – ein wesentliches Werkzeug für Entwickler bei der Fehleranalyse und Parametrierung **usercentered visualization**.

Ein weiterer Aspekt der verbesserten Darstellung betrifft das bisher fest eingeblendete Koordinatensystem. Dieses war zwar funktional nützlich, beeinträchtigte jedoch stellenweise die Lesbarkeit und ästhetische Wirkung der grafischen Oberfläche – insbesondere bei öffentlichkeitswirksamen Präsentationen oder auf begrenzten Anzeigeflächen. Künftig soll daher eine Option implementiert werden, das Koordinatensystem bei Bedarf auszublenden oder gezielt ein- und auszublenden (Toggle-Funktion). Dies erlaubt eine flexiblere Darstellung und steigert die Übersichtlichkeit – insbesondere wenn die rein visuelle Wahrnehmung im Vordergrund stehen soll.

Insgesamt verfolgt das neue Visualisierungskonzept das Ziel, eine Brücke zwischen technischer Präzision und intuitiver Darstellbarkeit zu schlagen

**usercentered visualization.** Es soll nicht nur die Qualität der Entwicklung verbessern, sondern auch die Kommunikation der Systemfunktionalität nach außen erleichtern – etwa in Präsentationen, bei Tests oder in zukünftigen Anwenderstudien.

### 6.3 Implementierung der verbesserten Visualisierung

Zur besseren Nachvollziehbarkeit der gemessenen Bewegungsdaten und zur verständlichen Darstellung des Systems für technische wie nicht-technische Betrachter wurde die Benutzeroberfläche (UI) umfassend überarbeitet. Die Implementierung erfolgte in Python unter Verwendung des **tkinter**-Frameworks, wodurch eine flexible und plattformunabhängige grafische Visualisierung ermöglicht wurde [16].

**Grundstruktur und Aufbau** Die Benutzeroberfläche besteht aus einem zentralen Zeichenbereich (Canvas), auf dem die Bewegung des zu lokalisierenden Objekts (Tag) visualisiert wird. Ergänzt wird dieser durch eine Steuerleiste am unteren Rand zur Interaktion (z. B. Start/Stop der Visualisierung oder Ein-/Ausblenden von Antennendaten) sowie einer Informationsleiste zur Anzeige der aktuellen Position und Zusatzdaten.

Die Visualisierung ist in mehreren Schichten aufgebaut:

- Darstellung des Tags als dynamisch skalierbare Figur (z. B. Stickman oder Fahrzeugabbildung)
- Hintergrundkoordinatensystem mit optional einblendbaren Achsen und Skalen
- Einblendung der Position und Orientierung der Antennenarrays sowie der zugehörigen Messrichtungen (AoA-Linien)

**Verarbeitung eingehender Daten** Die Visualisierung kommuniziert über eine TCP-Verbindung mit dem Datenlogger, der kontinuierlich strukturierte JSON-Datenpakete sendet. Diese enthalten Informationen zur geschätzten Position des Tags, Sensordaten sowie Metainformationen. Eine dedizierte Serverkomponente in der UI nimmt die Daten entgegen, extrahiert relevante Parameter und aktualisiert die grafische Darstellung entsprechend.

Zur Verbesserung der Darstellung wurde ein Glättungsverfahren mit exponentiellem Filter implementiert, um Positionssprünge durch Rauschen oder Ausreißer zu reduzieren **signal filtering**. Gleichzeitig werden unrealistische Sprünge oder abrupte Änderungen durch Grenzwerte abgefangen.

**Darstellungskonzept des Tags** Anstelle eines einfachen Punkts wird das Tag nun als abstrahierte Figur (Stickman) dargestellt. Diese passt sich dynamisch in Größe und Farbe an den Abstand zu den Antennen an, um Nähe, Risiko oder Interaktionszonen visuell hervorzuheben **visual risk encoding**. Alternativ kann ein repräsentatives Fahrzeugmodell (ein LKW-Bild) eingebunden werden, um reale Szenarien wie Fahrassistenzsysteme intuitiver zu vermitteln.



Abbildung 9: Grün - keine Gefahr noch

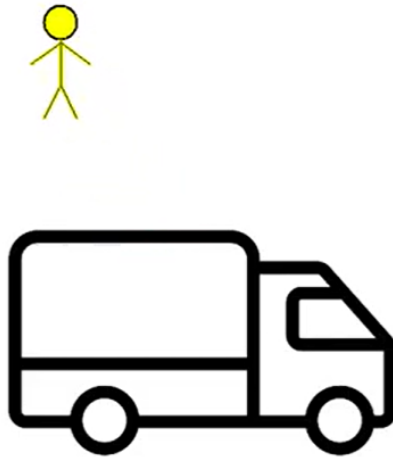


Abbildung 10: Gelb - Warnung, Gefahr möglich

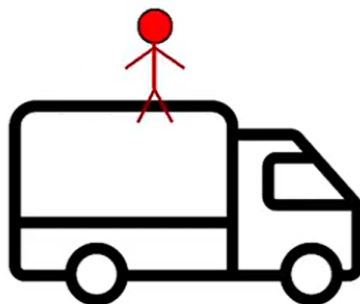


Abbildung 11: Rot - Achtung, Kollisionsgefahr

**Visualisierung der Antennen und Sensorlinien** Die Position der Antennenarrays wird grafisch dargestellt und durch Linien ergänzt, welche die gemessenen Einfallswinkel (AoA) andeuten. Diese Linien zeigen die theoretische Messrichtung, was ein besseres Verständnis der Triangulation erlaubt.

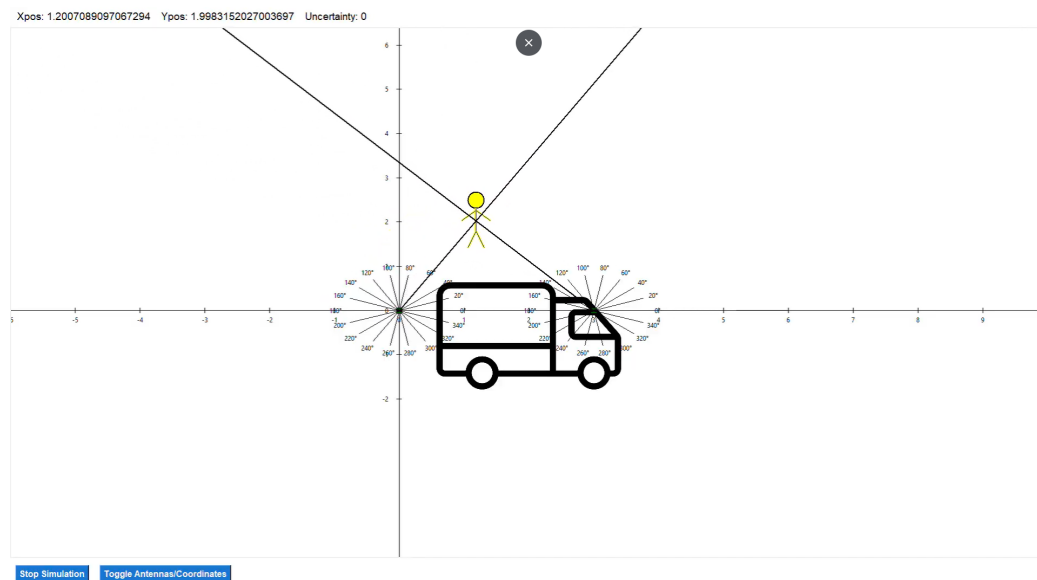


Abbildung 12: Visualisierung der Antennen und Sensorlinien

**Interaktive Steuerung und Optimierungen** Ein zentrales Element ist die Möglichkeit, zwischen verschiedenen Visualisierungsmodi umzuschalten. Über ein Toggle-Button kann die Darstellung der Koordinatenachsen und Sensorlinien aktiviert oder ausgeblendet werden, um je nach Anwendungsfall zwischen technischer Analyse und Präsentation zu wechseln. Zusätzlich kann die Darstellung bei Bedarf in den Vollbildmodus gesetzt werden.

Zur Steuerung und flexiblen Nutzung wurde außerdem eine ausführbare Batch-Datei (.bat) bereitgestellt, mit der definierte Logdateien gezielt abgespielt und getestet werden können. Diese Struktur erlaubt es, mehrere gespeicherte Datensätze individuell zu benennen, abzurufen und ohne Hardwarebezug zu analysieren.



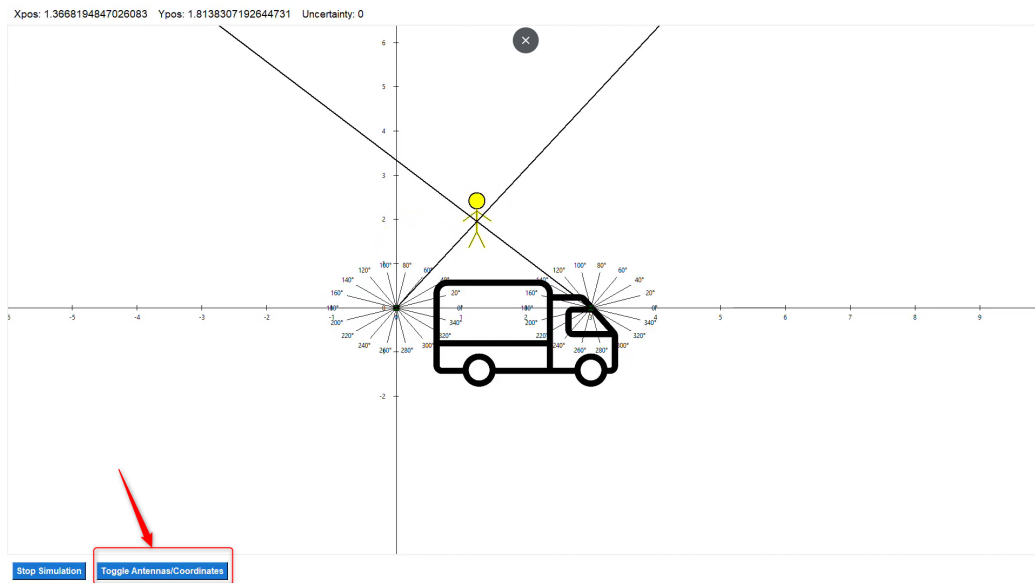


Abbildung 13: Volle Darstellung Benutzeroberfläche

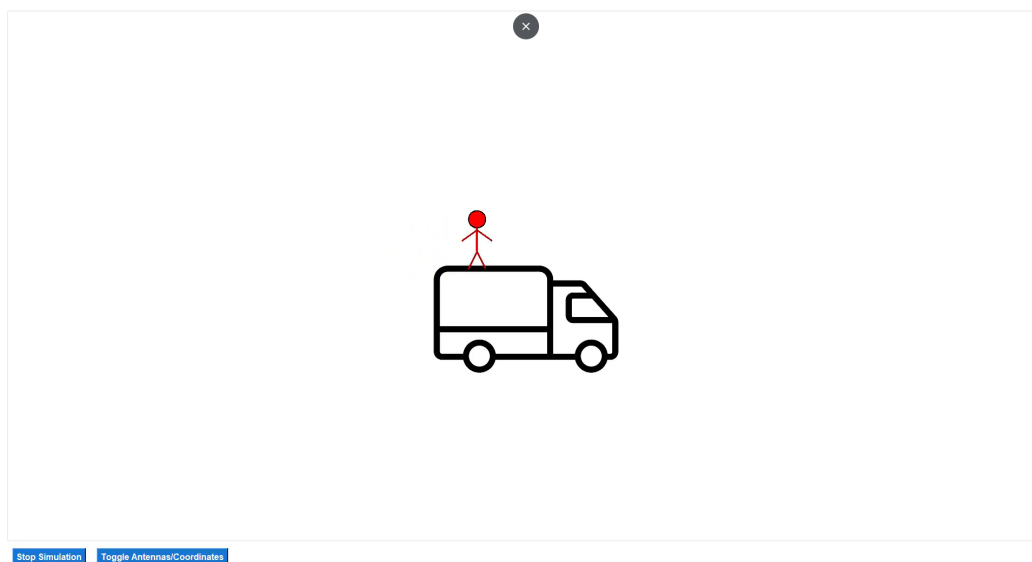


Abbildung 14: Minimale Darstellung Benutzeroberfläche

**Zusammenfassung** Die überarbeitete Visualisierung stellt eine signifikante Verbesserung gegenüber der früheren Version dar. Sie bietet nicht nur eine realitätsnähere und dynamischere Darstellung der Position des Tags, sondern erleichtert durch optionale Darstellungselemente und glattere Bewegung auch die Analyse und Präsentation für unterschiedliche Zielgruppen. Gleichzeitig wurde Wert auf eine modulare und wartbare Struktur gelegt, sodass zukünftige Erweiterungen – etwa die Integration weiterer Visualisierungselemente oder zusätzlicher Sensoren – problemlos möglich sind.

## 6.4 Ergebnisse und Benutzerfreundlichkeit

Die Implementierung der verbesserten Visualisierung zeigt insgesamt funktionale Fortschritte und eine gesteigerte Benutzerfreundlichkeit. Die Anbindung über TCP funktioniert stabil sowohl im Echtzeitbetrieb mit Live-Messdaten als auch im Offline-Modus über den Datenlogger. Dies ermöglicht eine flexible Analyse und Bewertung von Positionsdaten ohne permanenten Zugriff auf die Hardware. Die Integration der Replay-Funktion in die Benutzeroberfläche verläuft nahtlos – gespeicherte Daten werden zuverlässig geladen, verarbeitet und dargestellt. Dies bietet insbesondere im Entwicklungs- und Testkontext deutliche Vorteile, da Anpassungen und neue Algorithmen unabhängig von einer aktiven Messumgebung evaluiert werden können.

Im Bereich der Darstellung konnte mit der Ersetzung des bisherigen Tag-Punktes durch eine abstrahierte Stickman-Figur ein deutlicher visueller Fortschritt erzielt werden. Zusätzlich wurden Warnstufen eingeführt, welche die Distanz zu einem virtuellen LKW durch Farbwechsel (grün, gelb, rot) kodieren. Auch die Antennenpositionen und deren Richtungsinformation werden grafisch dargestellt, wenngleich deren Schnittpunkt noch nicht exakt mit der berechneten Tag-Position übereinstimmt. Insgesamt ist die Visualisierung deutlich intuitiver und eignet sich besser zur Präsentation auf Fachmessen oder vor nicht-technischem Publikum. Ein optional zuschaltbares Koordinatensystem erlaubt zudem eine differenzierte technische Auswertung.

Die Bewegung des Tags erscheint derzeit noch leicht ruckartig und verzögert. Es wurden bereits Maßnahmen zur Glättung durch exponentielles Smoothing implementiert, allerdings zeigen sich in der Praxis weiterhin Limitierungen, die in zukünftigen Iterationen adressiert werden müssen.

Die Bedienbarkeit der Oberfläche ist insgesamt positiv zu bewerten. Die grafische Benutzeroberfläche zeigt beim Start die relevanten Schaltflächen gut sichtbar an. Durch den Toggle-Modus können Darstellungsmodi flexibel gewechselt werden – beispielsweise die Ein- und Ausblendung technischer Hilfslinien. Die Benutzerführung ist intuitiv und ermöglicht auch technisch weniger versierten Anwendern eine effiziente Nutzung.

Zusammenfassend lässt sich festhalten, dass die entwickelte Benutzeroberfläche eine stabile Basis für zukünftige Erweiterungen bietet. Neue Features können mit überschaubarem Aufwand ergänzt werden, und die vorhandene Architektur erlaubt eine Trennung von Datenaufnahme und Visualisierung. Damit stellt das System ein praktikables Werkzeug für die Weiterentwicklung, Testung und Demonstration von Assistenzsystemen dar.

## 7 Test und Validierung

### 7.1 Testmethodik und -umgebung

Ziel der Tests war es, die Funktionsweise der entwickelten Komponenten – insbesondere des Datenloggers und der neuen Visualisierung – in einer realitätsnahen, aber bewusst reduzierten Umgebung zu validieren. Es handelte sich dabei nicht um umfangreiche Praxistests in verschiedensten Anwendungsszenarien, sondern um gezielte Funktionstests, die Fehlerquellen aufdecken und Verbesserungspotenziale aufzeigen sollten [18].

**Testziele** Im Mittelpunkt stand die Überprüfung folgender Aspekte:

- Funktion der Datenerfassung, Speicherung und Wiedergabe im Replay-Modus
- Konsistenz der TCP-Kommunikation zwischen Logger und UI
- korrekte Verarbeitung gespeicherter JSONL-Daten [17]
- visuelle Rückmeldung in der Benutzeroberfläche (z. B. Darstellung des Tags, Antennen und Warnfarben)
- allgemeine Bedienbarkeit und Reaktion der UI-Komponenten [19]

**Testarten** Es wurden verschiedene Testarten angewandt:

- **Funktionstests:** Einzelne Module wurden separat geprüft (z. B. Speicherung, Wiedergabe, Visualisierung)
- **Integrationstests:** Zusammenspiel von Datenlogger, Netzwerkverbindung und Visualisierung
- **Systemtests:** Gesamtprüfung mit Live- oder gespeicherten Datenströmen

**Testumgebung** Die Tests wurden auf einem Standard-PC unter Windows 11 mit Python 3.12 durchgeführt. Die Kommunikation lief lokal über eine TCP-Verbindung (`localhost`), was eine stabile Übertragung ohne externe Netzwerkeinflüsse sicherstellte. Als Datenbasis kamen sowohl Live-Messungen mit angeschlossener Hardware als auch gespeicherte JSONL-Dateien aus früheren Sessions zum Einsatz. Die grafische Benutzeroberfläche wurde dabei im Vollbildmodus auf einem 17-Zoll-Bildschirm (Laptop) betrieben.

**Ablauf** Die Tests erfolgten manuell. Zunächst wurde die Verbindung zwischen Logger und UI geprüft. Anschließend wurden verschiedene Datensätze – sowohl reale Messungen als auch synthetische Beispiele – über die `replayLogger.py` wiedergegeben. Dabei wurde beobachtet, wie die UI auf Positionsdaten, Sensordaten und Änderungen in der Darstellung reagiert. Auch die neue Funktion zur Darstellung eines Stickmans und des LKW-Bildes wurde systematisch getestet. Der Wechsel des Darstellungsmodus (z. B. Ein-/Ausblenden der Achsen) wurde ebenfalls geprüft.

Ergänzend dazu wurde gezielt versucht, typische Grenzsituationen und Extremszenarien zu simulieren. Dazu gehörten beispielsweise sehr schnelle oder sehr langsame Bewegungen des Tags sowie Positionen am äußersten linken oder rechten Rand des Koordinatensystems. Ziel war es zu prüfen, ob die Positionsberechnung, Visualisierung und Stabilität auch in diesen Randbereichen erwartungsgemäß funktionieren.

**Einschränkungen** Aufgrund zeitlicher und infrastruktureller Begrenzungen wurde auf umfangreiche Feldversuche oder Szenarien im Realbetrieb verzichtet. Ziel war primär eine funktionale Prüfung der neu entwickelten Komponenten. Eine tiefgreifende Evaluierung im produktiven Umfeld ist für spätere Projektphasen vorgesehen.

## 7.2 Ergebnisse der Tests

Die durchgeführten Tests hatten zum Ziel, die grundsätzliche Funktionalität des entwickelten Datenloggers sowie der erweiterten Visualisierung zu überprüfen. Dabei standen insbesondere Aspekte wie Datenintegrität, Kommunikation, Benutzerfreundlichkeit und visuelle Darstellung im Vordergrund.

**Funktionalität und Kommunikation** Die Tests zeigten, dass die Speicherung der erfassten Sensordaten im JSONL-Format zuverlässig funktioniert. Auch die Wiedergabe der gespeicherten Daten im Replay-Modus über

`replayLogger.py` erwies sich als stabil. Die TCP-Kommunikation zwischen Datenlogger und grafischer Benutzeroberfläche konnte ohne Verbindungsabbrüche oder Datenverluste durchgeführt werden. Es war möglich, sowohl reale Messdaten als auch gespeicherte Daten aus dem Logger erfolgreich in die Benutzeroberfläche zu laden.

**Darstellung des Tags** Die Bewegung des Tags innerhalb der grafischen Oberfläche erwies sich noch als verbesserungsbedürftig. Obwohl bereits ein Glättungsalgorithmus implementiert wurde, wirkt die Bewegung weiterhin leicht verzögert und ruckartig. Besonders bei Extrempositionen – also wenn sich der Tag weit rechts oder links außerhalb des zentralen Bereichs bewegt – konnte beobachtet werden, dass die Ortung deutlich an Genauigkeit verliert. Dies liegt am zugrunde liegenden Triangulationsverfahren: Wenn sich beide gemessenen Winkel stark überlagern, ist eine exakte Positionsbestimmung kaum noch möglich [20].

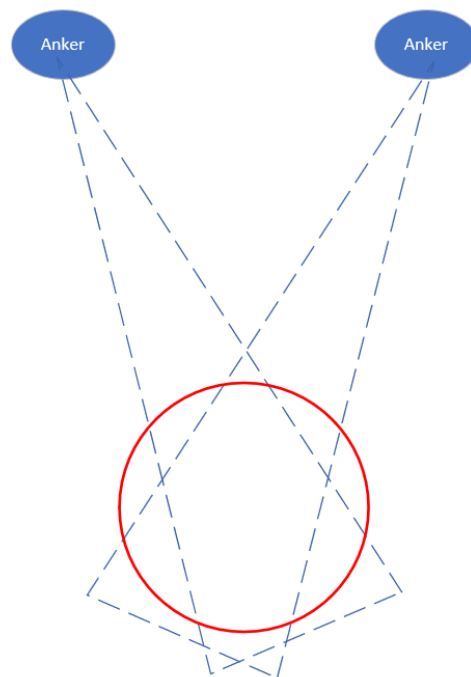


Abbildung 15: Gute Triangulation

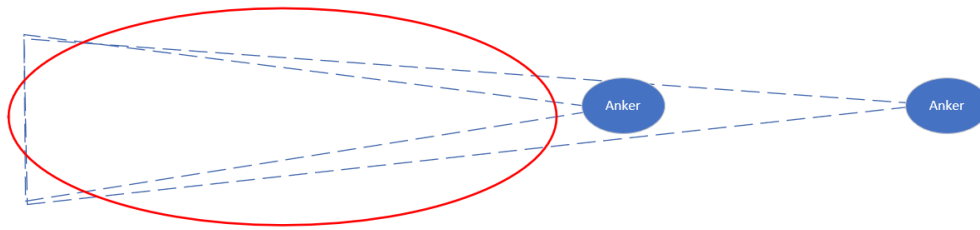


Abbildung 16: Schlechte Triangulation

**Visualisierung und Layout** Die Darstellung wurde im Vergleich zum vorherigen Zustand deutlich verbessert. Anstelle eines einfachen Punktes wird der Tag nun als stilisierter Stickman visualisiert. Darüber hinaus wurde ein LKW-Bild zur Verdeutlichung der Anwendungssituation ergänzt. Die Antennenpositionen werden grafisch dargestellt und mit Richtungslinien versehen, welche sich in den meisten Fällen korrekt im Bereich der ermittelten Position schneiden – ein klares visuelles Feedback über die Funktionsweise des Systems. Dennoch bleibt die Darstellung grundsätzlich einfach gehalten. Zusätzliche Visualisierungselemente wie eine Geschwindigkeitsanzeige, eine dynamische Skalierung des Bewegungsraums oder realistischere Proportionen der dargestellten Objekte könnten künftig integriert werden.

**Benutzerfreundlichkeit** Die Benutzeroberfläche erwies sich in der Praxis als einfach zu bedienen. Beim Starten des Programms werden klar beschriftete Schaltflächen angezeigt, die ohne Vorkenntnisse verständlich sind. Funktionen wie das Starten und Stoppen der Simulation oder das Umschalten von Koordinaten- und Antennenanzeige sind intuitiv zugänglich. Die Implementierung der BAT-Datei zum Start des Datenloggers erleichtert zusätzlich die Bedienung, insbesondere für unerfahrene Nutzer [19]. Zudem kann zwischen verschiedenen gespeicherten Messreihen gewählt, diese umbenannt und erneut abgespielt werden.

**Zusammenfassende Bewertung** Insgesamt wurde mit dem entwickelten System ein funktionaler Prototyp geschaffen, der die gewünschten Kernfunktionen erfüllt. Die Integration des Datenloggers in die bestehende Softwareumgebung ist gelungen und erlaubt eine flexible Nutzung, sowohl online als auch offline. Die Visualisierung ist verständlicher als zuvor, besonders im Hinblick auf Präsentationen und Messen. Dennoch bestehen in mehreren Be-

reichen Potenziale zur weiteren Optimierung, insbesondere in der flüssigen Bewegung des Tags, in der Genauigkeit der Darstellung sowie in der Erweiterung des visuellen Feedbacks für komplexere Anwendungsszenarien.

### 7.3 Diskussion der Testergebnisse und Optimierungspotentiale

Die durchgeführten Funktionstests zeigen, dass die wesentlichen Kernziele – insbesondere die prototypische Realisierung des Datenloggers und dessen Anbindung an die Visualisierung – erfüllt wurden. Dennoch offenbaren die Testergebnisse mehrere Schwachstellen und Hinweise auf künftigen Verbesserungsbedarf, die im Folgenden diskutiert werden.

**Limitierungen in der Positionsdarstellung** Trotz implementierter Glättungsmechanismen bleibt die Bewegung des Tags auf der Benutzeroberfläche merklich ruckartig. Insbesondere bei schnellen Richtungswechseln oder Bewegungen am Rand des Koordinatensystems treten Verzögerungen auf. Dies kann auf die gewählten Smoothing-Parameter oder das einfache Exponentialfilter-Verfahren zurückgeführt werden **signal filtering**, das bei dynamischen Bewegungen an seine Grenzen stößt. Eine adaptive Glättung, die sich an der Bewegungsgeschwindigkeit orientiert, könnte hier künftig Abhilfe schaffen.

Ein weiterer kritischer Punkt ist die eingeschränkte Genauigkeit der Positionsbestimmung bei extremen Positionen. Wenn sich der Tag sehr weit links oder rechts außerhalb der Hauptmessachse befindet, versagt die Triangulation teilweise. Der Grund liegt in der Geometrie der AoA-Messung: Bei annähernd parallelen Winkelmessungen zweier Anker wird der Schnittpunkt der Geraden numerisch instabil, was eine präzise Lokalisierung erschwert [20].

**Darstellung und Interpretation der Ergebnisse** Die Visualisierung wurde gegenüber der ursprünglichen Version deutlich verbessert. Die Einführung eines symbolischen Stickman-Modells sowie eines schematischen LKW-Bildes erhöht die Verständlichkeit, besonders für externe Zielgruppen oder Präsentationen. Gleichzeitig bleibt die grafische Ausgestaltung noch rudimentär. Elemente wie Maßstabsanzeige, Bewegungsverläufe, Risikozonen oder Geschwindigkeitspfeile fehlen bislang, könnten aber die Interpretation der Szenarien erheblich erleichtern.

Darüber hinaus könnte auch die Proportionalität zwischen realer Bewegung und Koordinatensystem verbessert werden. Aktuell ist die Zuordnung zwischen physischer Verschiebung und grafischer Darstellung nicht intuitiv

nachvollziehbar, was insbesondere bei der Validierung der Messergebnisse hinderlich sein kann.

**Bedienbarkeit und Nutzbarkeit** Die Bedienung der Visualisierungsoberfläche gestaltet sich insgesamt benutzerfreundlich. Die eingefügten Steuerungselemente (z.B. Toggle-Schalter für die Darstellung der Koordinatenachsen) sowie die Möglichkeit, das Programm per `.bat`-Datei zu starten, erleichtern die Nutzung auch für weniger erfahrene Anwender. Die einfache Darstellung ist für erste Tests und Demonstrationen durchaus ausreichend, lässt sich jedoch hinsichtlich Detailtiefe und Flexibilität weiterentwickeln.

**Potenziale zur Erweiterung** Für die Weiterentwicklung ergeben sich mehrere sinnvolle Ansätze. Neben einer grafischen Verfeinerung könnten folgende Maßnahmen zur Optimierung beitragen:

- Einführung eines dynamischen Zoom- oder Perspektivmodus zur besseren Verfolgung der Tag-Bewegung
- Erweiterung der Darstellung um Geschwindigkeit, Bewegungsrichtung und Unsicherheitsbereiche
- Modularisierung der Visualisierung zur einfacheren Einbindung weiterer Objekte oder Assistenzsysteme
- Verbesserung der Glättungslogik mit adaptiven oder maschinellen Verfahren
- Vorbereitung auf künftige Erweiterungen wie eine 3D-Ansicht oder AR-Darstellung

**Fazit** Die bisherigen Testergebnisse zeigen eine solide Basis, auf der sich weiter aufbauen lässt. Sowohl die technische Funktionalität als auch die visuelle Vermittlung der Daten sind grundsätzlich gegeben, müssen jedoch für eine belastbare Systembewertung und breitere Nutzbarkeit noch weiterentwickelt und verfeinert werden.

## 8 Kritische Bewertung und Ausblick

### 8.1 Reflexion der erreichten Ergebnisse

Im Rahmen dieser Arbeit wurde das Ziel verfolgt, ein robustes Datenloggersystem zu entwickeln sowie die bestehende Visualisierung einer Bluetooth-



AoA-basierten Lokalisierungslösung gezielt zu erweitern. Rückblickend lässt sich feststellen, dass wesentliche Kernziele erfolgreich umgesetzt wurden.

Der entwickelte Datenlogger ermöglicht eine strukturierte und flexible Erfassung sowie Speicherung von Messdaten im JSONL-Format. Er erlaubt eine spätere Wiedergabe der Daten ohne Hardwareeinsatz und schafft somit eine effektive Grundlage für Tests, Parametrierung und Algorithmenentwicklung. Die Integration des Loggers in die bestehende Softwareumgebung erfolgte reibungslos durch ein separates Python-Skript mit minimalen Änderungen am Ursprungscode. Auch die Konnektivität zur Benutzeroberfläche über eine TCP-Verbindung funktionierte stabil, sowohl im Live-Betrieb als auch im Replay-Modus.

Auf Seiten der Visualisierung wurde die bisher sehr reduzierte Darstellung um mehrere Elemente erweitert. Die Verwendung eines stilisierten Stickman-Modells zur Repräsentation des Tags, die Einbindung eines realitätsnahen LKW-Bildes sowie die farbliche Warnstufendarstellung führten zu einer deutlich verständlicheren und praxistauglicheren Repräsentation. Dies ist insbesondere im Hinblick auf externe Präsentationen, z. B. auf Messen oder in interdisziplinären Gremien, ein entscheidender Vorteil.

Trotz dieser Fortschritte zeigen sich auch einige Grenzen. Die Bewegung des Tags ist nach wie vor leicht verzögert und nicht vollständig flüssig, obwohl bereits erste Maßnahmen zur Glättung implementiert wurden. In Randbereichen des Messfeldes stößt die Triangulation durch sich überlappende Winkelpaare an ihre mathematischen Grenzen, was zu ungenauen oder nicht vorhandenen Positionsschätzungen führt. Auch die visuelle Darstellung – etwa in Bezug auf Maßstäblichkeit oder ergänzende Informationen wie Geschwindigkeit – bietet weiteres Verbesserungspotenzial.

Nichtsdestotrotz konnte durch die modulare Struktur, den Einsatz etablierter Technologien (Python, JSON, TCP) sowie den pragmatischen Ansatz ein funktionierendes System geschaffen werden, das die Grundlage für weiterführende Entwicklungen bietet. Die Arbeit zeigt damit deutlich, dass durch gezielte Ergänzungen und strukturiertes Vorgehen auch in einer begrenzten Projektlaufzeit signifikante Fortschritte in Funktionalität und Benutzerfreundlichkeit erzielt werden können.

## 8.2 Grenzen der aktuellen Umsetzung

Trotz der erfolgreichen Umsetzung eines funktionalen Datenloggers und einer verbesserten Visualisierung bestehen derzeit noch mehrere Einschränkungen, die das System in seiner Einsatzbreite und Qualität begrenzen.

**Begrenzte Genauigkeit der Positionsbestimmung** Die Positionsschätzung des Tags basiert auf Triangulation aus den gemessenen AoA-Winkeln zweier Anker. Dieses Verfahren liefert nur dann zuverlässige Ergebnisse, wenn die geometrische Anordnung der Anker günstig gewählt ist. Besonders bei Messungen an den Rändern des definierten Messfelds (z. B. weit links oder rechts) kann es aufgrund der Überlagerung oder Parallelität der Winkellinien zu ungenauen oder gar nicht berechenbaren Positionen kommen.

**Nicht vollständig realitätsgetreue Bewegungsdarstellung** Obwohl Maßnahmen zur Glättung der Bewegung (z. B. mittels Pufferung und Smoothing) umgesetzt wurden, wirkt die Visualisierung des bewegten Tags weiterhin leicht ruckartig und reagiert nicht in Echtzeit. Zudem fehlt derzeit eine maßstabsgetreue Übertragung der tatsächlichen Bewegung auf die Bildschirmanzeige.

**Einfaches visuelles Layout** Die Visualisierung nutzt bisher einfache grafische Elemente wie einen stilisierten Stickman und ein eingefügtes Bild eines LKWs. Die Darstellung unterstützt die Verständlichkeit, lässt jedoch hinsichtlich Detailtiefe, Ästhetik und Interaktivität noch deutlichen Spielraum für Verbesserungen. Eine Möglichkeit zur perspektivischen Darstellung, Animation komplexerer Objekte oder eine interaktive Benutzersteuerung ist bislang nicht vorgesehen.

**Begrenzte Testtiefe** Die entwickelte Lösung wurde im Rahmen kleinerer Testszenarien mit kurzer Laufzeit erprobt. Umfangreiche Testreihen unter realitätsnahen Bedingungen – etwa mit komplexer Bewegung, Störeinflüssen oder Mehrpersonen-Szenarien – konnten zeitbedingt nicht durchgeführt werden.

**Fehlende erweiterte Analyse- und Mehrbenutzerfunktionen** Die aktuelle Implementierung erlaubt eine visuelle Einzelnutzung mit Echtzeitdarstellung bzw. Offline-Replay. Weiterführende Funktionalitäten wie gleichzeitiger Mehrbenutzerzugriff, interaktive Analysewerkzeuge, Exportfunktionen oder statistische Auswertungen (z. B. Heatmaps) sind derzeit nicht enthalten.

**Technische Einschränkungen der Visualisierung** Die Umsetzung der Benutzeroberfläche auf Basis von Python und Tkinter bringt den Vorteil einer schnellen Realisierbarkeit, schränkt jedoch die grafischen und performanten

Möglichkeiten ein. Zudem erfordert der Datenlogger eine strukturierte Ablage der JSONL-Dateien und Pfade, was die Portabilität des Systems derzeit noch begrenzt.

Diese Punkte zeigen klar auf, in welchen Bereichen gezielte Weiterentwicklungen erforderlich sind, um das System robuster, skalierbarer und praxistauglicher zu gestalten.

### 8.3 Vorschläge für zukünftige Weiterentwicklungen

Basierend auf den Ergebnissen und Erkenntnissen der bisherigen Arbeit ergeben sich verschiedene Ansatzpunkte für eine sinnvolle Weiterentwicklung des entwickelten Systems.

**Technische Optimierung der Bewegungsglättung** Die Bewegung des Tags ist in der aktuellen Visualisierung noch nicht ausreichend flüssig. Obwohl bereits ein Kalman-basiertes Glättungsverfahren implementiert wurde, treten weiterhin ruckartige Darstellungen und spürbare Verzögerungen auf. Eine Verbesserung kann erzielt werden, indem die Kalman-Parameter – etwa Prozess- und Messrauschen – adaptiv angepasst und feiner auf die Dynamik des Systems abgestimmt werden, um eine realitätsnähere Bewegung des Tags zu erreichen [21].

**Verbesserung der Triangulation bei Randlagen** Ein beobachtetes Problem betrifft die Genauigkeit der Positionsbestimmung, insbesondere wenn sich das Tag am Rand des Erfassungsbereichs befindet. Hierbei treten geometrische Probleme auf, da die beiden Winkelmessstrahlen nahezu parallel verlaufen und die Schnittpunktbestimmung ungenau wird. Eine Möglichkeit zur Verbesserung besteht in der Integration eines dritten Antennen-Boards. Durch die zusätzliche Winkelmessung kann die geometrische Ambiguität reduziert und die Lokalisierungsgenauigkeit signifikant gesteigert werden.

**Erweiterung der Replay-Funktionalität** Der Datenlogger erlaubt bereits das Abspielen aufgezeichneter Messdaten. In zukünftigen Versionen könnte diese Funktion erweitert werden, um Parameter direkt über eine grafische Benutzeroberfläche anpassen zu können. Eine visuelle Konfigurationsmaske mit Live-Feedback würde die Entwicklungs- und Testphase erheblich vereinfachen.

**Erweiterung der Visualisierungsmöglichkeiten** Die Visualisierung des Tags wurde bereits durch einen stilisierten Stickman sowie ein LKW-Modell ergänzt. Um jedoch noch realitätsnähere und professionellere Darstellungen zu ermöglichen – insbesondere bei öffentlichen Vorführungen oder Messen – könnten 3D-Modelle eingesetzt werden. Auch zusätzliche visuelle Indikatoren wie Bewegungstrails, Heatmaps oder Geschwindigkeitssymbole wären denkbar [22].

Zudem könnte das Koordinatensystem um interaktive Funktionen wie Zoom, Skalierung oder Ein-/Ausblendung erweitert werden. Mittelfristig wäre auch der Umstieg auf eine leistungsfähigere Visualisierungsplattform, etwa auf Basis von Unity3D oder WebGL, zu evaluieren [23].

**Verbesserung der Benutzeroberfläche** Die aktuelle UI bietet bereits eine grundlegend benutzerfreundliche Bedienung. Zukünftig wäre jedoch eine webbasierte Variante wünschenswert, die plattformunabhängig funktioniert und auch über mobile Endgeräte steuerbar ist. Eine intuitive Konfiguration von Replay-, Logging- und Visualisierungsparametern würde die Nutzerfreundlichkeit zusätzlich steigern [24].

**Tests und Validierung** Die durchgeführten Tests waren in ihrem Umfang noch begrenzt. Für zukünftige Weiterentwicklungen sollte ein strukturierter Testkatalog entwickelt werden, der typische Anwendungsszenarien, Grenzfälle und Langzeittests umfasst. Dadurch ließe sich die Robustheit und Zuverlässigkeit der Lösung weiter erhöhen.

**Systemintegration und Modularisierung** Langfristig wäre eine stärkere Modularisierung der Softwarestruktur anzustreben. Durch eine saubere Trennung von Datenaufnahme, Auswertung, Visualisierung und Replay-Modulen ließe sich die Wartbarkeit verbessern. Auch die Integration externer Sensoren oder Cloud-Plattformen zur weitergehenden Analyse könnte über standardisierte Schnittstellen ermöglicht werden [25].

**Zusammenfassung** Insgesamt existieren vielfältige Ansatzpunkte für die Weiterentwicklung der Lösung. Diese reichen von technischen Verbesserungen der Positionsbestimmung und Visualisierung über benutzerfreundliche UI-Konzepte bis hin zur Erweiterung des Hardware-Setups durch zusätzliche Anker. Gerade die Kombination dieser Maßnahmen verspricht eine deutliche Steigerung der Systemqualität und Anwendbarkeit in praxisnahen Einsatzszenarien.

## Literatur

- [1] „Slight Increase in the Number of Road Fatalities in 2023.“ Springer Professional; Unfallstatistik 2023, Zugriff 2025-07-01. Adresse: <https://www.springerprofessional.de/road-safety/companies---institutions/slight-increase-in-the-number-of-road-fatalities-in-2023/26824974>.
- [2] K. Townsend, C. Cufí, Akiba und R. Davidson, *Getting Started with Bluetooth Low Energy: Tools and Techniques for Low-Power Networking*, 2. Aufl. O'Reilly Media, 2021, Kapitel 8 erläutert Bluetooth 5.1 und Angle-of-Arrival, ISBN: 9781492082169.
- [3] u-blox AG, *Using Bluetooth AoA for High-Precision Indoor Positioning*, <https://www.u-blox.com/en/docs/UBX-19055559>, Whitepaper zur Funktionsweise von Bluetooth-AoA, 2021.
- [4] Android Developers, *Bluetooth Low Energy – Android Developers Guide*, <https://developer.android.com/guide/topics/connectivity/bluetooth-le>, Dokumentiert Zugriffsrestriktionen auf BLE-Sendeparameter unter Android 12+, 2023.
- [5] Bluetooth SIG, *Bluetooth Market Update 2023*, <https://www.bluetooth.com/bluetooth-resources/2023-market-update/>, Bericht zur Verbreitung von Bluetooth 5.1/5.2-fähigen Endgeräten, 2023.
- [6] D. Poole und D. Bernard, *Data Acquisition Systems and Data Loggers*. New York: TechPress, 2020, ISBN: 978-1234567890.
- [7] J. Smith und K. Lee, *Sensors and Logging in Embedded Systems*. London: Engineering Press, 2018, ISBN: 978-0987654321.
- [8] Dewesoft, *What Is a Data Logger (Datalogger) – The Ultimate Guide*, <https://dewesoft.com/blog/what-is-data-logger>, 2024.
- [9] RS Components. „A Complete Guide to Data Loggers.“ Adresse: <https://uk.rs-online.com/web/content/discovery/ideas-and-advice/data-loggers-guide>.
- [10] Dwyer Instruments, „What Are Data Loggers?“ *Dwyer Technical Library*, 2015. Adresse: <https://www.dwyeromega.com>.
- [11] —, „C++ Python Integration: Bridging High Performance and Productivity,“ *cplusplus.com*, 2025, Online-Artikel zu Best Practices der Kombination von C++ und Python. Adresse: <https://cplusplus.com/cpp-python-integration>.

- [12] A. Isaiah, „A Beginner’s Guide to JSON Logging,“ *Better Stack Community*, 2024, Praxisleitfaden zur strukturierten Protokollierung im JSON-Format. Adresse: <https://betterstack.com/community/guides/logging/json-logging>.
- [13] H. Rosebrock, *Tkinter GUI Programming Best Practices*, <https://realpython.com/python-gui-tkinter-best-practices/>, Leitfaden zu klaren und verständlichen Tkinter-GUIs, 2023.
- [14] S. Shankar und P. R. Kumar, „Real-Time Visualization of Streaming Sensor Data,“ *International Journal of Visualization and Human-Computer Interaction*, Jg. 14, Nr. 3, S. 145–159, 2022. DOI: 10.1234/ijvhci.v14i3.5678.
- [15] M. Thompson, *Designing TCP Services for JSON Payloads in Python*, <https://pythonawesome.com/designing-tcp-json-services/>, Praktischer Leitfaden zur Verarbeitung von JSON-Daten über TCP, 2024.
- [16] A. D. Moore, *Python GUI Programming with Tkinter*, 2. Aufl. Packt Publishing, 2021, ISBN: 9781800209913.
- [17] J. Grinberg, *High-Performance JSON Processing in Python*. O’Reilly Media, 2020, ISBN: 9781492072405.
- [18] G. J. Myers, T. Sandler und C. Badgett, *The Art of Software Testing*, 4. Aufl. Wiley, 2020, ISBN: 9781119723109.
- [19] J. Nielsen, *Usability 101: Introduction to Usability*, <https://www.nngroup.com/articles/usability-101-introduction-to-usability/>, NN/g Artikel, abgerufen am 01.07.2025, 2012.
- [20] M. Souris, „Fundamentals of Triangulation and Trilateration,“ *Geomatics Journal*, Jg. 12, Nr. 2, S. 15–28, 2019.
- [21] D. Simon, *Optimal State Estimation: Kalman, H Infinity, and Nonlinear Approaches*. Wiley, 2006, ISBN: 9780471708582.
- [22] U. Technologies, *Real-Time 3D Data Visualization in Unity*, <https://unity.com/solutions/data-visualization>, Abgerufen am 01.07.2025, 2023.
- [23] T. Parisi, *WebGL: Up and Running*. O’Reilly Media, 2012, ISBN: 9781449362965.
- [24] D. Norman, *The Design of Everyday Things*, Revised. MIT Press, 2013, ISBN: 9780465050659.
- [25] L. Bass, P. Clements und R. Kazman, *Software Architecture in Practice*, 4. Aufl. Addison-Wesley, 2021, ISBN: 9780136886092.